



# INTERNATIONAL ATOMIC ENERGY AGENCY UNITED NATIONS EDUCATIONAL, REJENTIFIC AND CULTURAL ORGANIZATION



# INTERNATIONAL CENTRE FOR THEORETICAL PHYSICS 34100 TRIESTE (ITALY) - P.O.B. 586 - MIRAMARE - STRADA COSTIERA 11 - TELEPHONE: 2240-1 CABLER CENTRATOM - TELER 460392-1

H4.SMR/193 - 38

"COLLQUE INTERNATIONAL SUR LA SCIENCE DES MATERIAUX POUR L'ENERGIE".

(26 août - 11 septembre 1986).

"REFRIGERATION PAR ADSORPTION SOLIDE AVEC GEL DE SILICE".

Rogerio P. Klüppel Laboratorio de Energia Solar Joao Pessoa, Brésil

Ces notes de recherche provisiones, sont destinées aux parficipants. Eventuelle ment, d'autres copies seront disponibles au bureau 231.

### REFRIGERATION PAR ADSORPTION SOLIDE AVEC GEL DE SILICE

Par: Rogerio P. KLUPPEL

de l'Universidade Federal da Paraiba BRESIL

adresse: Laboratório de Energia Solar Cidade Universitária

58.000 João Pessoa, PB

BRESIL

#### RESUME

Ce travail retrace l'experience acquise au LES/UPPb dans l'usage du gel de silice comme adsorbant dans des systèmes de réfrigération solaire. Après des commentaires sur les propriétés du gel de silice sont montrées des donnés obtenues pendant des essais realisés avec deux prototypes de refrigérateur solaire. Les deux prototypes utilisent un capteur d'un modéle nouveau et ont été projetés l'un pour la réfrigération aux environs de 273 K et l'autre pour le refroidissement de l'eau potable, vers 283 K. Dans le premier cas le coefficient de performance solaire a été de 0,055 en moyenne tandis que dans l'autre le CPS est arrivé à 0,07.

## LE CYCLE D'ADSORPTION

Un cycle de réfrigération par sorption est basé sur la reversabilité d'une réaction chimique du type:

$$A_{n}B_{m} \stackrel{+}{\longleftarrow} chaleur \qquad nA + mB \qquad (1)$$

La réversibilité de la réaction (1) se produit en fonction du déplacement du point d'équilibre de réaction avec des variations de pression et température. Les processus de sorption solide tel que l'adsorption de l'eau par du gel de silice appartiennent aux réactions du type (1). L'énergie necéssaire à la dissociation du composé est transformée en énergie potentielle de réaction chimique, rejetée sous forme de chaleur à l'instant de la recombination. Dans le cas du couple gel de silice/eau la réaction est la suivante:

$$\text{Si } O_2 \cdot n(H_2O) \stackrel{\pm}{\longleftarrow} \text{Si } O_2 \cdot m(H_2O) + (n-m)H_2O$$
 (2)

Utilisant un réacteur chimique comme celui schématisé dans la figure 1 on peut construire une machine frigorifique à adsorption solide, qui travaille en cycle intermitent, profitant de l'alternance jour et nuit. Les principes thermodynamiques du fonctionnement d'un tel appareil ont été expliqués par Guilleminot et al. |1|.

# PROPRIETES DU GEL DE SILICE

Jusqu'à présent le couple sorbent solide/sorbat gazeux le plus etudié est Zeolithe 13 X/eau |2|, |3|. Ce fait est peut-être dû à une bonne connaissance des propriétés du couple, ce qui permet de prévoir la performance d'une machine. Aprés l'obtention des isostères du couple gel de silice/eau par Sizmann et al |4| on a pu faire les calculs relatifs à l'utilisation de ce binaire dans des machines frigorifiques à sorption.

En effet, des calculs théoriques realisés par Adell |5| ont montré que pour des températures d'évaporation de quelques degrés en dessus de 0°C le gel de silice est mieux adapté à la refrigération solaire que la zéolithe.

Admettant que les procés d'evaporation et de condensation ont lieu à une pression constante, on peut tracer sur le graphique des isostères un cycle fermé qui répresente les états du sorbant pendant le cycle de réfrigération. Sur la figure 2 est montré un cycle 1-2-3-4 défini par les pressions de vapeur saturée de l'eau et les lignes de capacité constante (isostères).

Le cycle 1-2-3-4 de la figure 2 n'est q'une aproximation mais donne une idée très claire du procés et permet en outre d'avoir une idée des quantités de matériel nécessaires à une application donnée.

#### LE COEFFICIENT DE PERFORMANCE SOLATRE

Le coefficient de performance peut être défini comme le quotient de l'effet frigorifique réel par l'energie solaire disponible sur la surface du capteur. L'effet frigorifique est le produit de la masse evaporée  $\mathbf{m_e}$  par la chaleur latent  $\mathbf{h_{ev}}$  moins l'énergie extraite du réfrigerant pour le refroidir de la température de condensation  $\mathbf{T_c}$  à celle d'évaporation  $\mathbf{T_e}$ :

$$CPS = \frac{m_{\dot{e}} h_{ev} - m_{c} (T_{c} - T_{e})}{\int_{24h} G_{\dot{i}} \cos\theta \ d\theta}$$
(3)

 $0\tilde{u}$  m<sub>c</sub> est la masse condensée,  $G_1$  la puissance solaire au plan du capteur et  $\theta$  est l'angle d'incidence de la radiation, fonction du temps. L'integral du denominateur est normalement appelée  $H_T$  et peut être evaluée experimentalement à l'aide d'un pyranomètre placé dans le plan du capteur.

Comme experimentalement il est blaucoup plus facile de mesurer le volume condensé, on considere que m<sub>e</sub> = m<sub>c</sub>. Celà veut dire qu'on admet qu'a chaque cycle le gel garde la même teneur résiduelle d'eau. Sachant que dans l'experience l'eau rentre dans l'évaporateur à la température ambiente T<sub>a</sub> l'équation (3) peut être modifiée pour donner le coefficient de performance experimental:

$$CPS = \frac{v_c \rho_\omega \left[ h_{ev} - C_p (T_a + T_c) \right]}{H_T}$$
 (4)

 $0 \tilde{u} - v_c$  est le volume d'eau condensée et  $\rho_{\omega}$  en est la masse volumique.

# CONSTRUCTION D'UN REFRIGERATEUR

Un petit réfrigérateur a été construit et testé en 1983, [6].

Ses caracteristiques sont les suivantes:

Capteur. Le capteur solaire est de construction multitubulaire formé par 26 tubes en cuivre de 42 mm  $B_e$  contenant 0,8 kg de gel de silice chacun. Le gel est maintenu dans l'espace annulaire formé par le tube de cuivre et un autre tube perforé d'plus petit diamètre, qui lui est concentrique. Les tubes extérieurs sont juxtaposés et liés par leur partie supérieur à un tube distributeur par où circule la vapeur d'eau. Les tubes sont placés dans une boîte en aluminium extrudé, couverts par deux lâmes de verre de 3 mm d'épaisseur et isolés à l'arrière par 5 cm de laine de verre.

Condenseur. Le condenseur est composé de tubes de cuivre de 15 mm  $\theta_e$  arrangés en parallele et immergés dans un réservoir d'eau de 0,5 m<sup>3</sup> en capacité. La surface totale d'échange est d'environ 9 m<sup>2</sup>.

Evaporateur. L'évaporateur est un cylindre en acier de 0,01 m<sup>3</sup> de capacité contenant 8 kg d'eau. L'évaporateur est placé à l'intérieur d'une enceinte isolé de 0,08 m<sup>3</sup> de volume.

Les résultats des tests sont montrés sur le Tableau I ci-dessous Des donnés plus completes sont presentées par [6]. [7].

TABLEAU 1. Résultats de tests d'un réfrigérateur solaire d'adsorption. T<sub>max</sub> est la température maximale atteinte à l'intérieur de la chambre pendant le cycle de 24 h.

Date	H	H <sub>T</sub>	T <sub>a</sub> *	T	m c	CPS
(1983)	(MJ/m <sup>2</sup> )	(MJ/m <sup>2</sup> )	A	_max (°С)	(kg)	(%)
27/7	21,4	22,3	27,5	18,2	0,75	10,0
28/7	21,9	23,1	27,5	17,3	0,70	9,0
29/7	20,7	21,7	27,2	17,4	0,58	7,9
30/7	15,5	16,2	27,5	15,8	0,20	3,8
1/8	15,8	16,6	27,5	16,0	0,17	3,0
23/11	26,8	25,9	29,7	14,9	0,67	7,6
24/11	19,9	19,2	29,6	15,0	0,38	5,8
25/11	18,7	18,1	29,9	14,6	0,27	4,4
26/11	24,4	23,6	28,4	15,7	0,88	11.0
27/11	24,3	23,6	28,2	15,9	0,58	7,3
28/11	26,3	25,5	29,3	16,2	0,57	6,6
29/11	26,0	25,1	29,3	15,7	0,45	5,3
*\ T	aat 1			4. 1		

\*) T est la moyenne journalière de la température ambiente.

# REFROIDISSEMENT D'EAU POTABLE

Dans le but de trouver un système mieux adapté à l'usage du gel de silice/eau comme couple frigorigene on a construit un prototype de réfrigérateur d'eau potable montré sur la figure 3. Le prototype est très semblable au modèle anterieur, avec les modifications suivantes:

<u>Capteur.</u> Le capteur est aussi multitubulaire, formé de 25 tubes comme celui du modèle anterieur, d'une surface de captation totale de 1 m<sup>2</sup>, couvert par une seule lâme de verre.

Evaporateur. L'évaporateur est un réservoir en acier de 0,3m<sup>3</sup> de capacité isolé thermiquement à l'exterieur et contenant 25 kg d'eau. A l'intérieur du réservoir un serpentin en cuivre forme l'échangeur de chaleur par oûcircule l'eau potable à refroidir.

Les résultats de deux semaines de tests, une au début du periode d'essay et l'autre après un an de fonctionnement continu, sont montrés sur le Tableau 2 |8|.

TABLEAU 2. Résultats de test obtenus pendant deux séries de mesures d'une semaine. T<sub>max</sub> est la température maximale attainte par l'estockage et T<sub>min</sub> en est la température minimale, pendant la période de 24 h.

Date	H	H <sub>T</sub>	T <sub>a</sub>	т	т.	_	ana
	(MJ/m <sup>2</sup> )	(MJ/m <sup>2</sup> )	°C	_max (°C)	min (°C)	m <sub>c</sub> (kg)	OPS Z
27/4/85	21,3	22,1	28	14	9	0,65	7
28/4/85	10,8	11,7	26	16	8	0,13	3
29/4/85	, .	10,7	26	18	12	0,0	0
30/4/85	•	23,8	28	17	10	1,30	13
01/5/85	•	22,4	29	17	10	0,65	7
02/5/85	•	24,8	28	17	3	0,60	6
21/6/86	, -	19,2	25	12	7	0.73	9
22/6/86		21,2	26	13	6	0.70	8
23/6/86	19,0	21,8	25	15	8	0,77	8
24/6/86	,-	24,9	26	13	5	0,77	y
25/6/86	-,-	12,9	24	15	7	0,22	4
26/6/86	16,0	17,7	25	14	7	0,78	11

#### CONCLUSIONS

Les résultats présentés montrent que le prototype de réfrigérateur n'a pas pu attaindre des températures en dessus de 4°C. D'autre part on peut aussi voir que la température a trôp montée à l'intérieur du prototype pendant la journée. Le refroidisseur d'eau potable a mieux fonctionné et les résultats de CPS montrés sur le Tableau 2 sont plus intéressants que ceux donnés sur le Tableau 1. On peut donc conclure que le couple gel de silice/eau est mieux adapté au refroidissement à des températures de 1'ordre de 8°C, que pour la réfrigération aux environs de 0°C.

L'experience a montré que le procés le plus long est celui de sorption et que la régénération peut avoir lieu en 3 h de bonne insolation, environ.

La température de condensation est critique et on ne peut pas utiliser un condenseur refroidit à l'air sous peine de diminution du volume d'eau condensée et par conséquent le CPS.

Le Tableau 2 montre, aussi, que le gel de silice n'a pas subi de dégradation appréciable après un an d'opération continue.

#### REFERENCES

- 1) GUILLEMINOT, J. J., F. MEUNIER et B. MISCHLER Rev. Phys. Appl. vol. 17 (1980) p. 441
- 2) TCHERNEY, D. I. ASSET vol 6 n. 5 (1984) p. 21
- 3) GUILLEMINOT, J. J. et MEUNIER, F. Rev. Gen. Ther. Fr. 239, (novembre 1981) p. 825.
- 4) SIZMANN R., D. JUNG et N. KHELIFA Rev. Intern. d'Helioth. 2 ième sem. 1981, p. 42.
- 5) ADELL, A. Rev. Phys. Appl. vol. 19 (1984) p. 1005.
- 6) VODIANITSKAIA, P. J. et KLUPPEL, R. P. "Geladeira solar de adsorção" Ann. du III Congrés Brésilien d'Energie (1984) p. 583.
- 7) VODIANITSKAIA, P. J. Thèse de MSc en génie Mécanique presentée à l'Université Federale de Paraiba, João Pessoa, (dec. 1984).
- 8) KLUPPEL, R. P. et J. M. A. M. GURGEL "Potable water cooling by solid adsorption" accepté pour présentation au V Congrés Latinoamericain d'Energie Solaire. Valparaiso, (Chile, 1986).

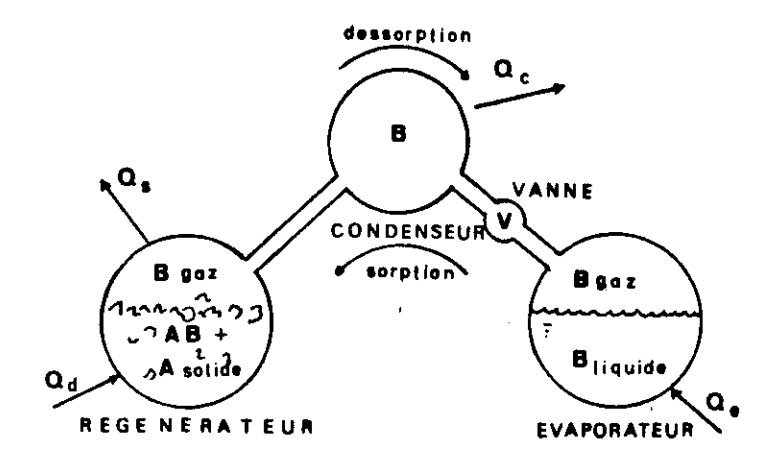


FIGURE 1 Schema d'un réacteur thermochimique qui peut être utilisé comme machine frigorifique.

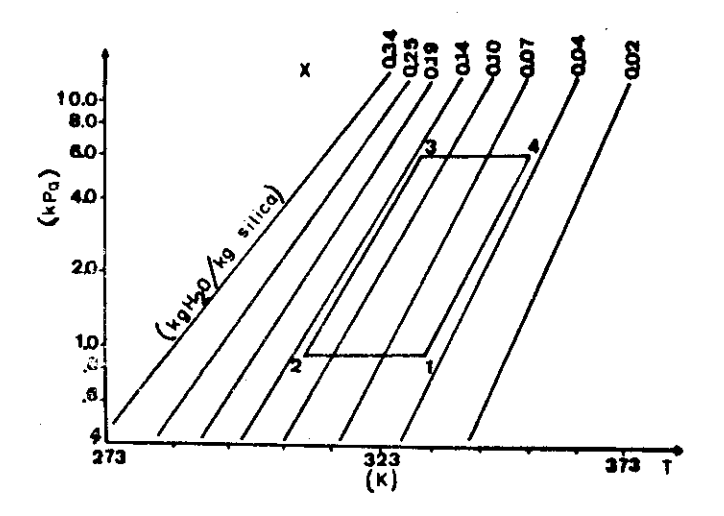


FIGURE 2 Cycle theorique de sorption sur un diagrame d'isostères du couple gel de silice/eau.

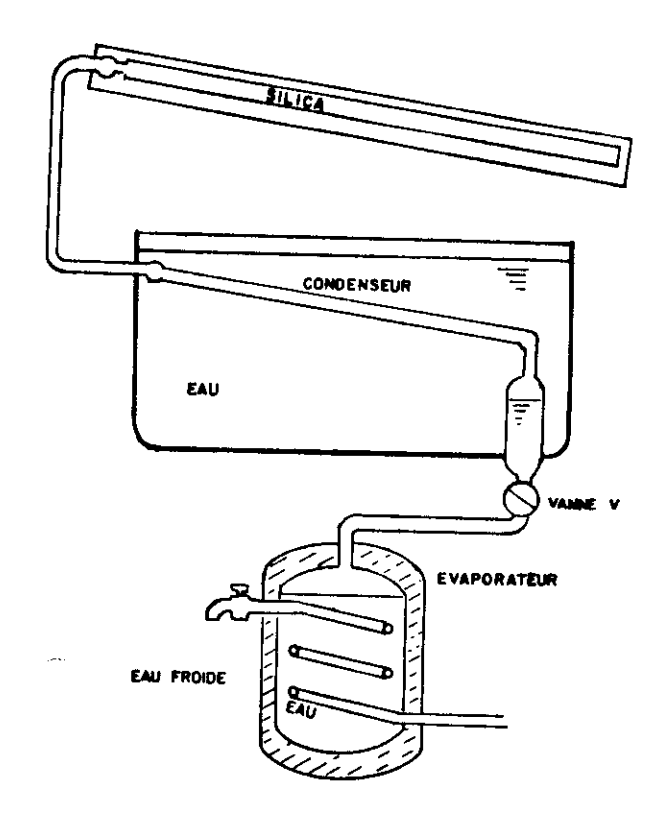


FIGURE 3 Schema du prototype de refrigérateur d'eau potable par adsorption solide construit au LES/UFPB.

				r
·				
	•			
			•	~